

FIG. 1

19—

19

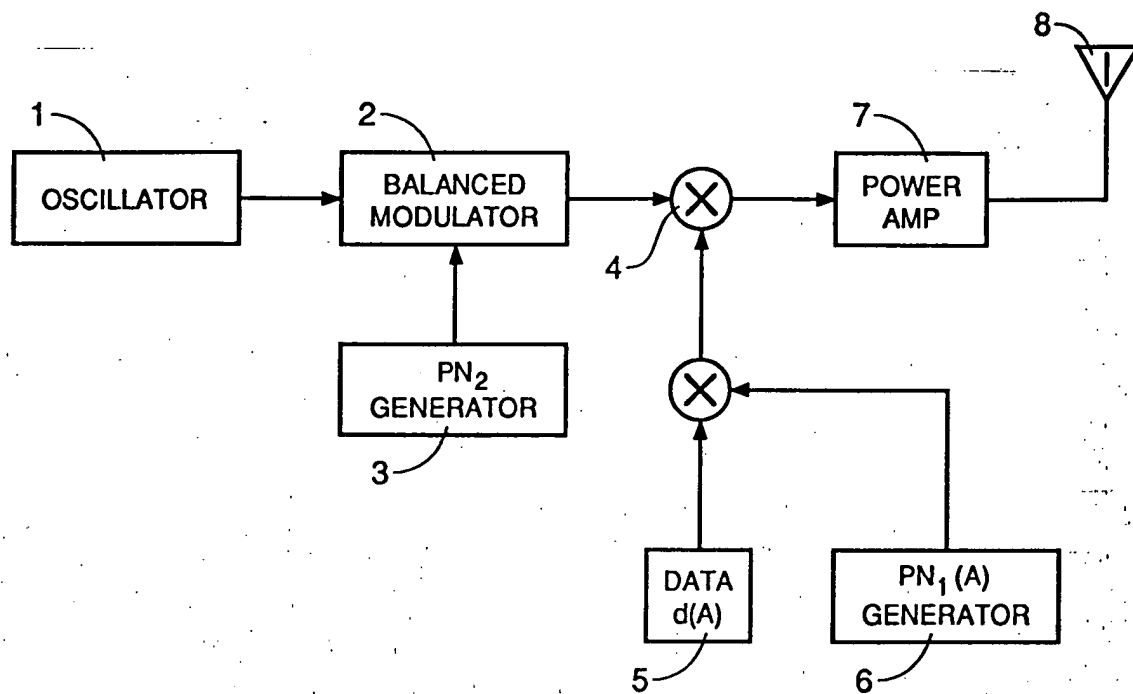


FIG. 2

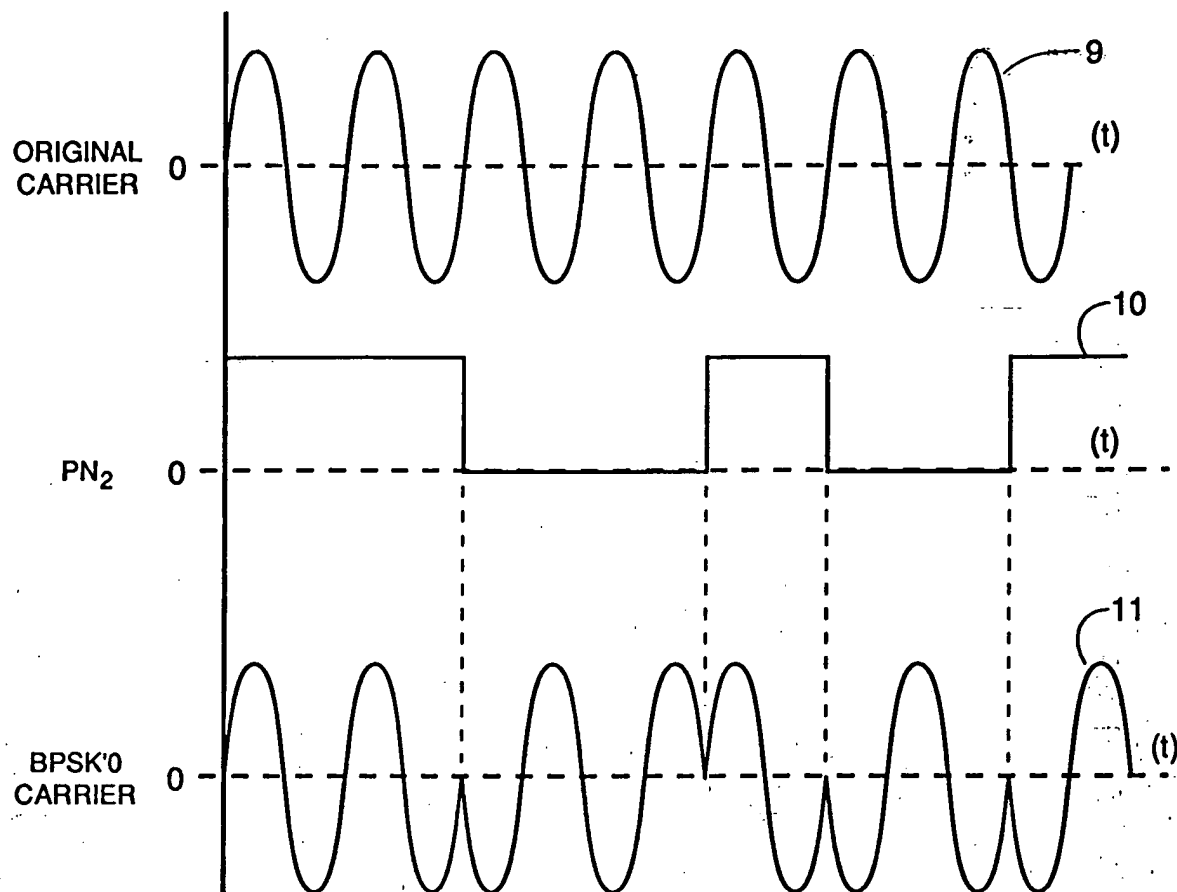


FIG. 3

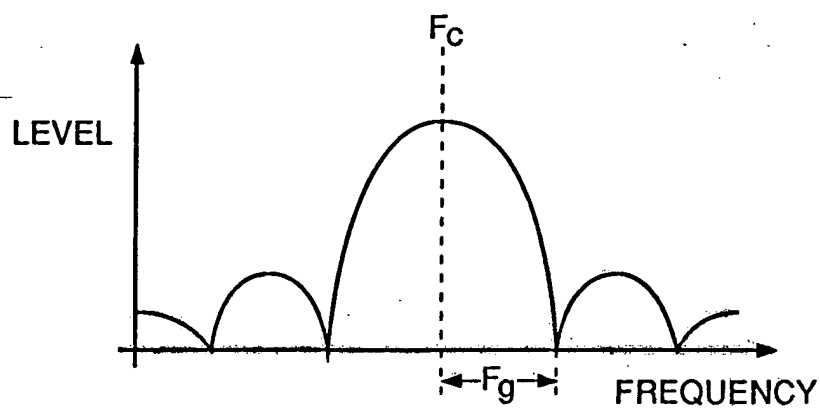
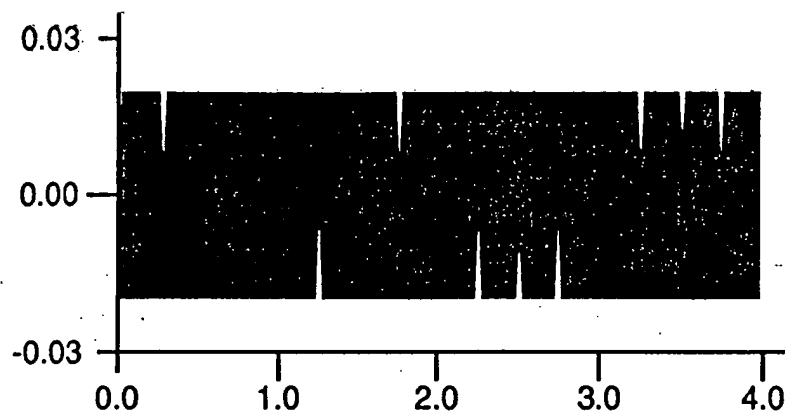


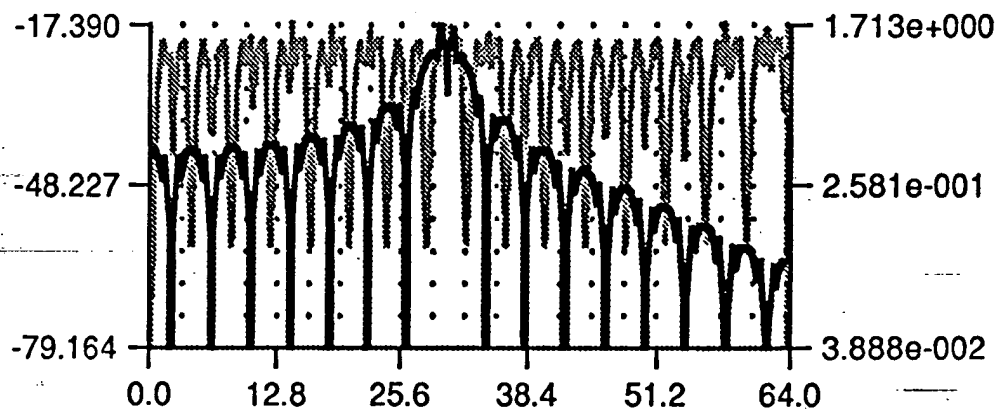
FIG. 4



BIPHASE CARRIER MODULATION

$$\cos[\omega_0 t + \pi/2 PN_2(t)]$$

FIG. 5A



BIPHASE CARRIER MODULATION SPECTRUM

FIG. 5B

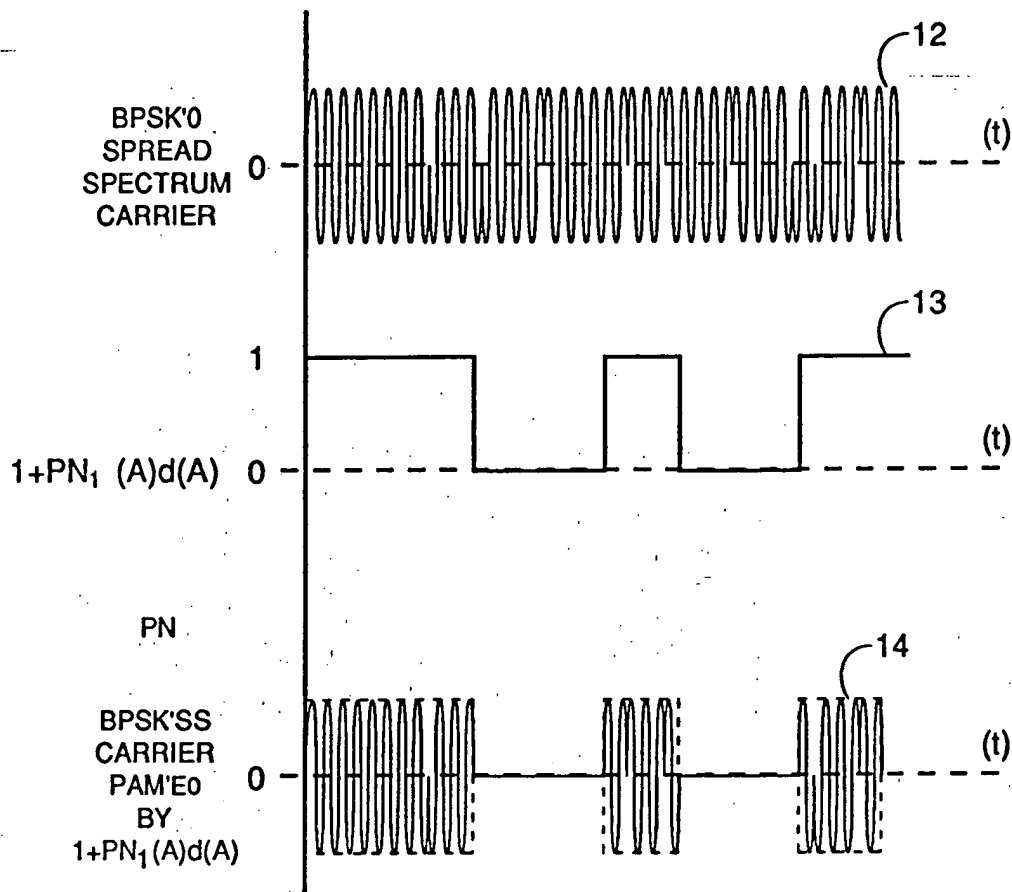
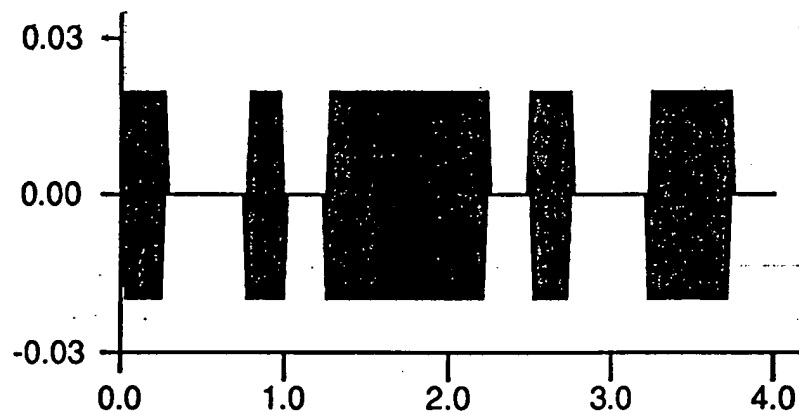


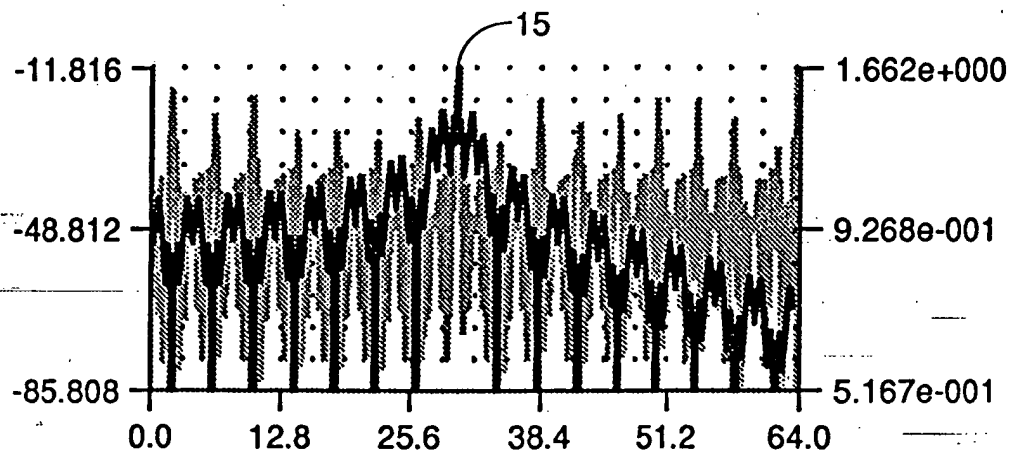
FIG. 6



AMPLITUDE ON-OFF CARRIER MODULATION

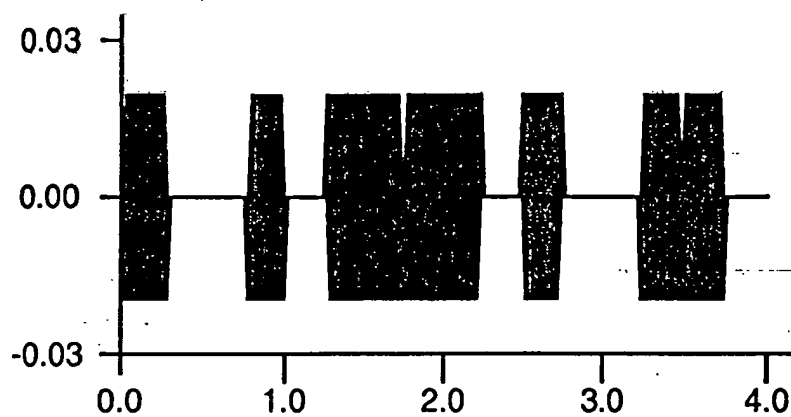
$$[1 + PN_i(t)] \cos[\omega_0 t]$$

FIG. 7A



AMPLITUDE ON-OFF CARRIER MODULATION SPECTRUM

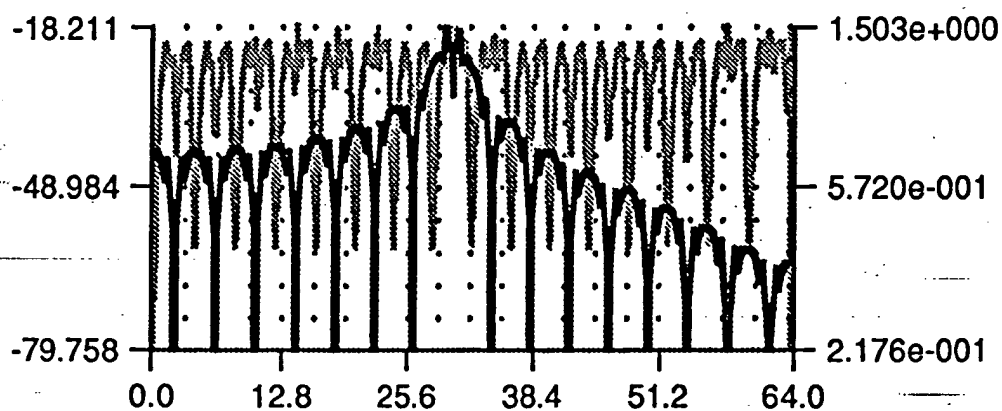
FIG. 7B



AMPLITUDE ON-OFF PLUS
BIPHASE CARRIER MODULATION

$$[1 + PN_1(t)] \cos[\omega_0 t + \pi/2 PN_2(t)]$$

FIG. 8A



AMPLITUDE ON-OFF PLUS BIPHASE
CARRIER MODULATION SPECTRUM

FIG. 8B

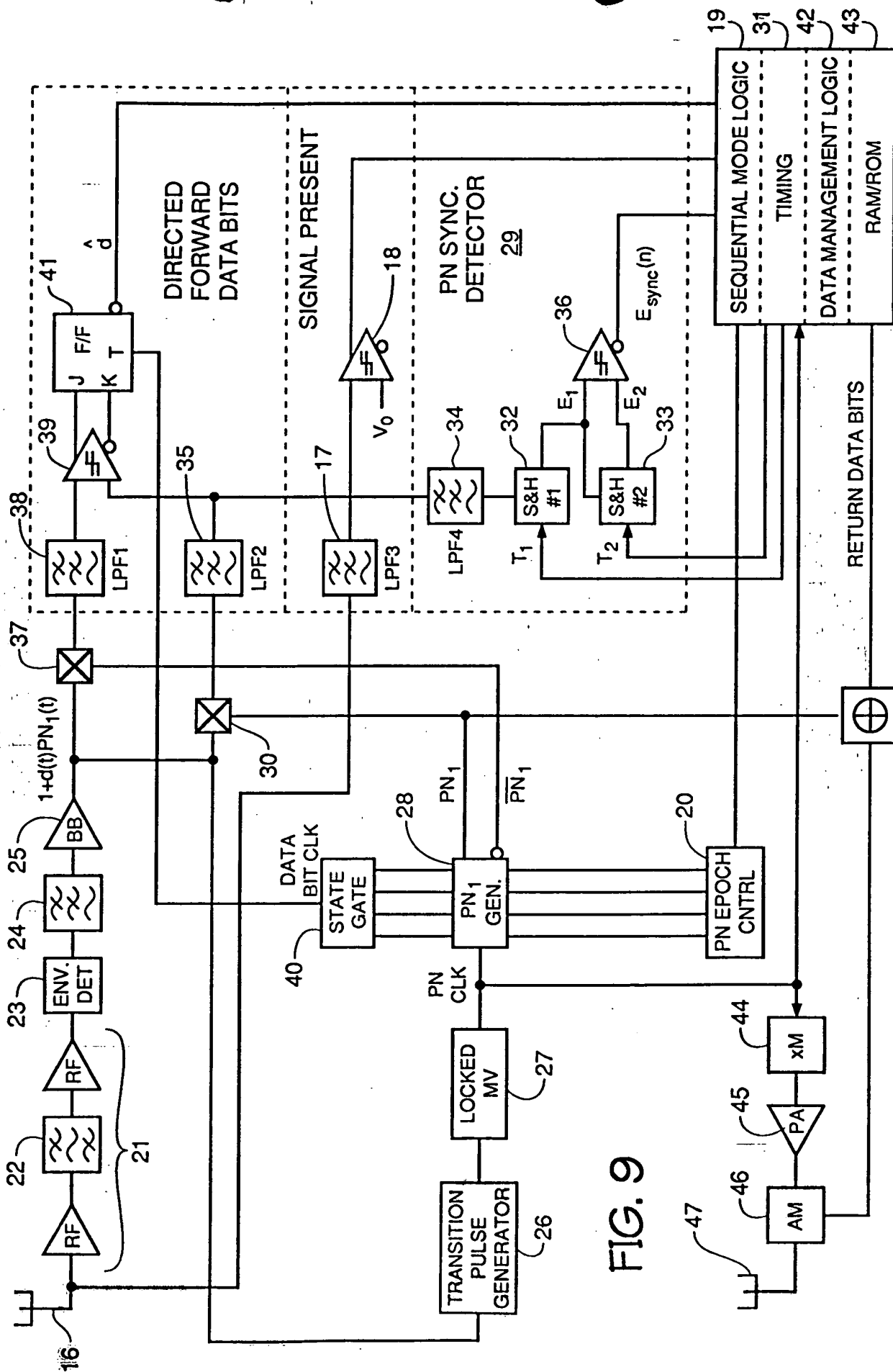


FIG. 9

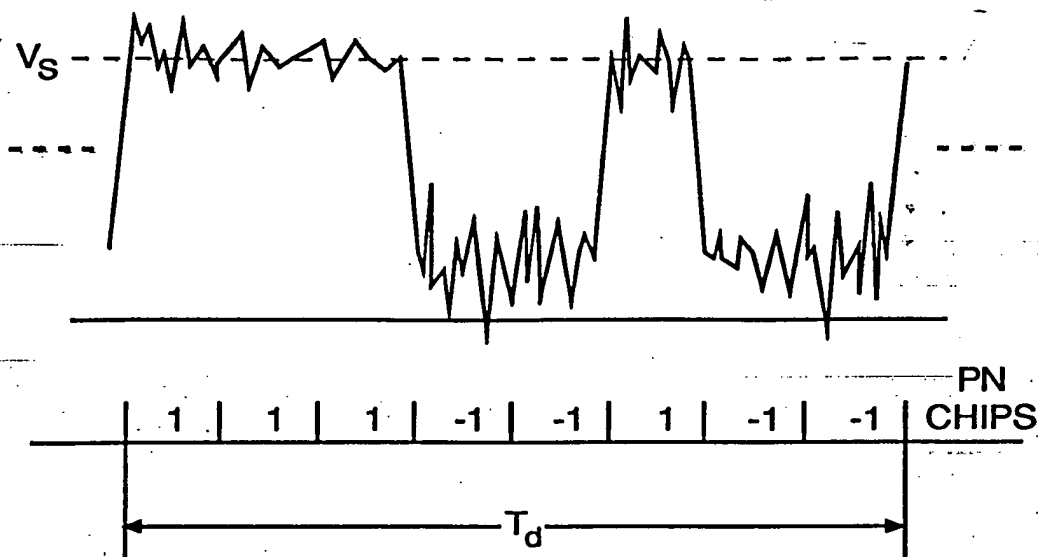


FIG. 10

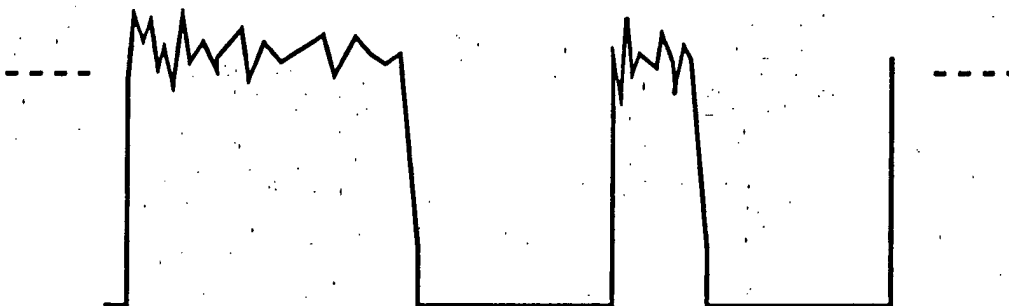


FIG. 11

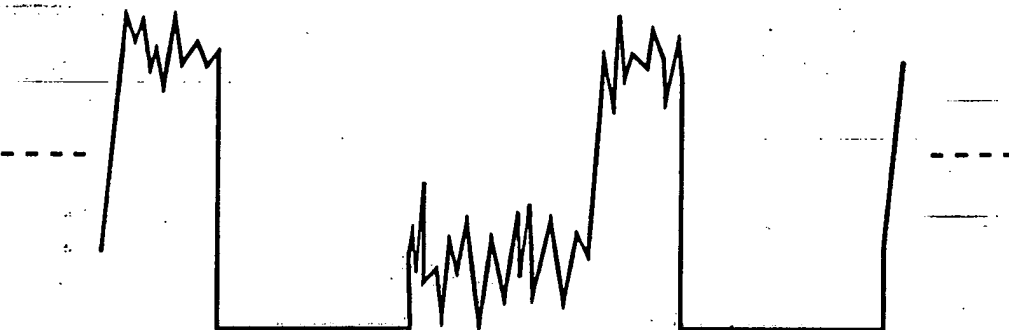


FIG. 12

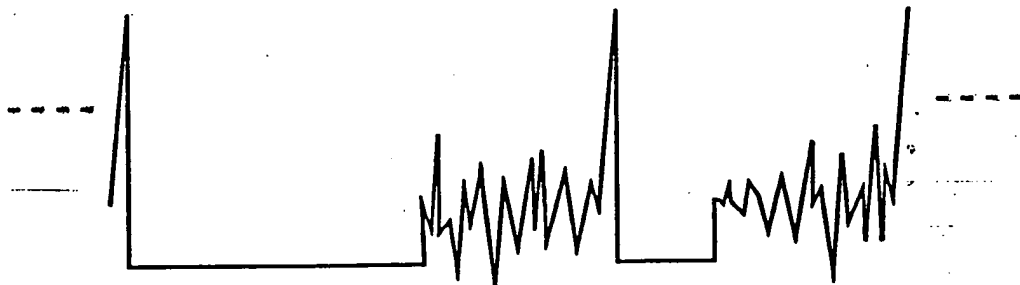


FIG. 13

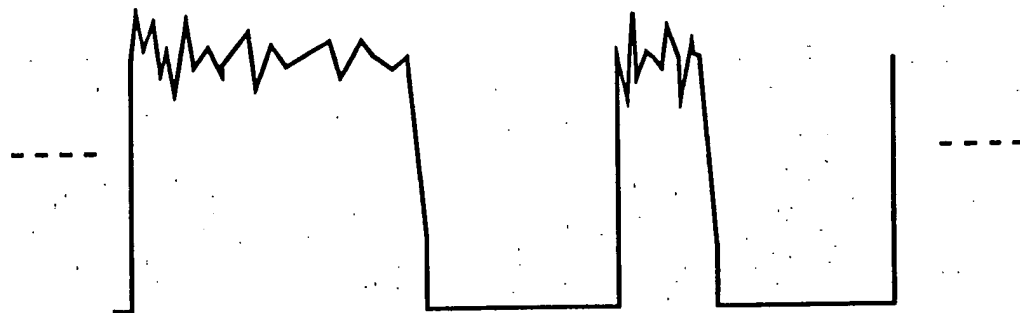


FIG. 14

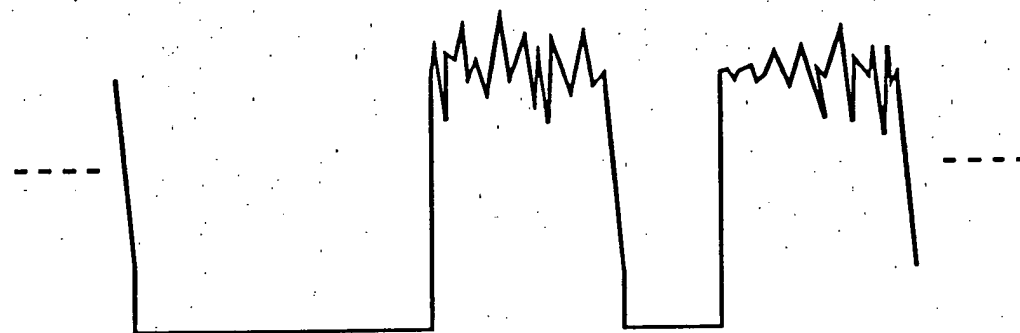


FIG. 15



FIG. 16